



حل تحلیلی استراتژی خط دید بهینه برای سیستم هدایت و کنترل یکپارچه ساده شده برای اهداف ثابت

سید حسام سجادی^۱، سید حمید جلالی نائینی^{۲*}

۱- دانشجوی دکتری، مهندسی هوافضاء، دانشگاه تربیت مدرس، تهران

۲- استادیار، مهندسی هوافضاء، دانشگاه تربیت مدرس، تهران

* تهران، صندوق پستی ۱۴۱۱۵-۱۱۱، shjalalinaini@modares.ac.ir

چکیده

در این مقاله، حل تحلیلی و صریح استراتژی خط دید بهینه برای سیستم‌های هدایت و کنترل یکپارچه بدون در نظر گرفتن اشباع زاویه بالک استخراج شده است. دینامیک وسیله پروازی بصورت یک تابع تبدیل مرتبه دوم ناکمینه‌فاز مدل شده است که نمایانگر تخمین پریود کوتاه است. برای حل مسئله کنترل بهینه، دینامیک عملگر ایده‌آل و بدون اشباع زاویه بالک فرض شده اما برای بررسی عملکرد، محدودیت روی زاویه بالک در شبیه‌سازی اعمال شده است. معادلات حرکت برای حل بهینه بصورت تک‌بعدی در نظر گرفته شده و زمان و موقعیت نهایی معلوم و ثابت فرض شده است. همچنین، معادلات با استفاده از چهار فرم بی بعدسازی مختلف استخراج شده است که سبب افزایش دید در طراحی و تحلیل عملکرد استراتژی هدایت و کنترل یکپارچه می‌شود. به علاوه، بهره‌های هدایت برای حل پایای استراتژی مذکور بصورت تحلیلی و صریح استخراج شده است. در مجموع، عملکرد «قانون هدایت و کنترل یکپارچه خط دید بهینه» از حل پایای آن بهتر بوده ولی با محاسباتی آن بیشتر است؛ اگرچه برای ریزپردازنده‌های کنونی قابل قبول می‌باشد. به علاوه در پیاده‌سازی قانون مذکور از برآش منحنی یا جستجو در جدول می‌توان استفاده کرد. همچنین مطالعه پارامتری بی بعد قانون هدایت و کنترل یکپارچه، بهطور نمونه برای ضریب وزنی فاصله از خط دید، بهره و فرکанс پریود کوتاه دینامیک وسیله پروازی صورت گرفته است. در نهایت، عملکرد هر دو قانون هدایت و کنترل یکپارچه با وجود عدم قطعیت در مدل دینامیک وسیله پروازی بررسی شده است.

اطلاعات مقاله

مقاله پژوهشی کامل

دریافت: ۰۶ اردیبهشت ۱۳۹۵

پذیرش: ۰۳ تیر ۱۳۹۵

ارائه در سایت: ۱۶ مرداد ۱۳۹۵

کلید واژگان:

هدایت و کنترل یکپارچه

کنترل بهینه

هدایت خudadid

سیستم‌های ناکمینه‌فاز

Analytical Solution of Optimal Line-of-Sight Strategy for Simplified Integrated Guidance and Control System with Stationary Target

Sayyed Hesam Sajjadi, Seyed Hamid Jalali Naini*

Faculty of Mechanical Engineering, Tarbiat Modares University, Tehran, Iran
* P.O.B. 14115111, Tehran, Iran, shjalalinaini@modares.ac.ir

ARTICLE INFORMATION

Original Research Paper
Received 25 April 2016
Accepted 23 June 2016
Available Online 06 August 2016

Keywords:
Integrated Guidance and Control
Optimal Control
Line-of-Sight Guidance
Non-Minimum Phase Systems

ABSTRACT

In this paper, an explicit formulation of optimal line-of-sight strategy is derived in closed-loop for integrated guidance and control (IGC) system without consideration of fin deflection limit. The airframe dynamics is modeled by a second-order non minimum phase transfer function, describing short period approximation. In the derivation of our optimal control problem, the actuator is assumed to be perfect and without limitation on fin deflection, whereas fin deflection limit is applied for the performance analysis of the presented optimal IGC solution. The problem geometry is assumed in one dimension and the final position and final time are fixed. The formulation is obtained in four different normalized forms to give more insight into the design and performance analysis of the optimal IGC strategy. In addition, guidance gains are obtained analytically in explicit form for steady-state solution. In most cases, the performance of IGC is better than that of IGC with steady-state gains, but has more computational burden; however, it is reasonable for today's microprocessors. Curve fitting or look-up table may be used instead for implementation of optimal IGC strategy. Moreover, parametric study of nondimensional IGC parameters is carried out, such as weighing factor, dc gain, and short period frequency. Finally, the performance of both IGC strategies is evaluated with airframe model uncertainties.

روش‌های هدایت و کنترل یکپارچه مدنظر قرار گرفته است [۳-۱].

امروزه در تعریف متداول در سیستم هدایت و کنترل یکپارچه، فرامین هدایت محسوبه نمی‌شود و یک دفعه، خروجی کنترلی محاسبه می‌شود. بهطور نمونه، در سیستم‌های خودکار پروازی کنترل آبروی دینامیک مانند

اغلب سیستم‌های خودکار پروازی کنونی، با استفاده از روش هدایت و کنترل غیریکپارچه طراحی شده است. امروزه، بهمنظور افزایش عملکرد و دقیقیت سیستم‌های خودکار پروازی و با افزایش قدرت و سرعت ریزپردازنده‌ها،

۱- مقدمه

برای ارجاع به این مقاله از عبارت ذیل استفاده نمایید:

S. H. Sajjadi, S. H. Jalali Naini, Analytical Solution of Optimal Line-of-Sight Strategy for Simplified Integrated Guidance and Control System with Stationary Target, *Modares Mechanical Engineering*, Vol. 16, No. 7, pp. 361-372, 2016 (in Persian)

بهره پایا برای مساله تک بعدی اشاره‌های کرده است. البته در مقاله مذکور، هیچ‌گونه اثری از حل تحلیلی معادلات یا اشاره‌های به آن، دیده نمی‌شود و به نظر حل عددی صورت پذیرفته است. البته در عوض از خطی‌سازی و تابع توصیفی برای المان غیرخطی اشباع استفاده کرده است.

در مرجع [11] یک قانون تحت عنوان هدایت و کنترل یکپارچه بهینه خطدید برای پرواز آرایشمند چهار هوایی بدون سرنشین برای گردش حول یک دایره با شعاع ثابت در صفحه افق، که هدف در وسط آن دایره قرار دارد، در حالت پایا با استفاده از حل عددی معادله جبری ریکاتی استخراج شده است. البته در مرجع مذکور، حل تحلیلی برای بهره‌های پایا استخراج نشده است و با تغییر شرایط آبرو دینامیکی و مشخصات جرمی، این بهره‌ها بصورت عددی محاسبه می‌شود. در مقاله فوق‌الذکر، فرامین هدایتی نیز استخراج شده و از روی آن، فرامین کنترلی محاسبه می‌شود که با تعریف اشاره شده در خصوص سیستم‌های هدایت و کنترل یکپارچه و همچنین کاربرد، مدل‌سازی و فرمولاسیون تحقیق حاضر بسیار متفاوت است.

در مرجع [14] دستور شتاب در قانون هدایت خطدید بهینه برای سیستم کنترل مرتبه دوم (غیریکپارچه) بدون در نظر گرفتن صفر کمینه‌فاز/ناکمینه‌فاز استخراج شده است. در مرجع [15] نیز برای سیستم کنترل مرتبه دوم دو جمله‌ای کمینه‌فاز و ناکمینه‌فاز، قانون هدایت خطدید بهینه غیریکپارچه بصورت حلقه بسته ارائه شده و اثر صفر ناکمینه‌فاز بررسی شده است. البته همان‌طور که اشاره شد در دو مرجع اخیر، دستور شتاب محاسبه شده است و نه زاویه احراف بالک. لذا در چارچوب سیستم‌های هدایت و کنترل یکپارچه طبقه‌بندی نمی‌شود.

در این مقاله، با استفاده از تئوری کنترل بهینه، حل صریح و حلقه بسته هدایت و کنترل یکپارچه خطدید برای سیستم‌های مرتبه دوم ناکمینه‌فاز به‌ازای هدف ثابت، بصورت دستور زاویه بالک و در حالت تک بعدی استخراج شده است. بعلاوه، بهره‌های پایا قانون مذکور نیز به‌طور صریح بدست آمده است. عملکرد هر دو قانون هدایت و کنترل یکپارچه بدون ابا وجود عدم قطعیت در پارامترهای مدل دینامیک وسیله پروازی و با اعمال محدودیت اشباع زاویه بالک در شبیه‌سازی بررسی و مقایسه شده است. لازم به ذکر است از روش خطی‌سازی و تابع توصیفی مرجع [10] برای المان غیرخطی اشباع به عنوان معادلات حالت مسئله حاضر نیز می‌توان استفاده کرد.

2-معادلات حرکت

معادله حرکت حاکم بر وسیله پروازی با فرض مدل جرم نقطه‌ای در حالت تک بعدی بصورت $a = \frac{\ddot{x}}{m}$ نوشته می‌شود که مطابق شکل 1، \ddot{x} فاصله وسیله پروازی از خطدید و a شتاب وسیله پروازی در جهت عمود بر خطدید است. در این شکل، وسیله پروازی با P و هدف با T نمایش داده شده است و هدف این است که وسیله پروازی P بر روی خط وصل بین نقاط O و T قرار گیرد. برای استخراج «قانون هدایت و کنترل یکپارچه خطدید بهینه»، سیستم هدایت و کنترل وسیله پروازی بصورت تابع تبدیل مرتبه دوم ناکمینه‌فازفرض شده است. به عبارت دیگر، کل دینامیک وسیله پروازی از ورودی دستور زاویه احراف بالک (δ) تا خروجی شتاب مانوری با یک تابع تبدیل مرتبه دوم مدل شده است:

$$\frac{a}{\delta_c} = \frac{k_1 \omega^2 (1 - T_z^2 S^2)}{S^2 + 2\zeta \omega S + \omega^2} \quad (1)$$

که در آن، T_z ، k_1 ، ω ، ζ پارامترهای سیستم و S متغیر حوزه لابلس است. به عبارت دیگر، در مدل‌سازی حاضر، از تقریب پریود کوتاه و فرض عملگر

هوایی‌های بدون سرنشین از روش هدایت و کنترل یکپارچه، دستور شتاب جانبی محاسبه نشده، بلکه به‌طور مستقیم دستور زاویه انحراف بالک محاسبه و به عملگر اعمال می‌شود [2,1]. البته تعریف مذکور، به‌طور همسان و بصورت روال واحد در منابع مشاهده نمی‌شود.

در سیستم‌های هدایت و کنترل غیریکپارچه ممکن است قانون هدایت و قانون کنترل جدگانه طراحی شود. با بررسی عملکرد کل مجموعه، در صورتی که این عملکرد مناسب نباشد؛ طراحی هر یک از این دو سیستم هدایت و کنترل بازنگری و مجدد عملکرد کل مجموعه ارزیابی می‌شود. این فرآیند تکرار شده تا عملکرد مناسب حاصل آید. طراحی با استفاده از این روش، به‌علت سیکل‌های متعدد، معمولاً طولانی می‌شود. همچنین از حداکثر ظرفیت طراحی استفاده نشده و لذا عملکرد مجموعه می‌تواند با عملکرد سیستم هدایت و کنترل بهینه، فاصله قابل توجهی داشته باشد. از مزایای سیستم‌های سنتی می‌توان به سادگی نسبی در طراحی، بار محاسباتی نسبتاً پایین (نسبت به سیستم هدایت و کنترل یکپارچه) اشاره نمود. بعلاوه، در روش‌های غیریکپارچه، به‌علت طراحی جدگانه و امکان مشاهده رفتار پارامترهای زیرسیستم‌ها (به‌طور نمونه، ترخ چرخش خطدید، دستور شتاب)، اعمال روش‌های روتین و طراحی روشمند توسط طراح برای اصلاح رفتار سیستم وجود دارد. مطالعات بعضی اولیه بعضی از محققین نشان می‌دهد که سیستم هدایت و کنترل یکپارچه در مقایسه با سیستم‌های غیریکپارچه دارای عملکرد و دقت مطلوب‌تر و هزینه تمام شده کمتر است [4,3].

برای طراحی قانون کنترلی استفاده کرد. تاکنون روش‌های متعددی برای طراحی و یا بهینه‌سازی قانون هدایت و کنترل یکپارچه ارائه شده است. به طور نمونه می‌توان از کنترل مقاوم [5]، کنترل تطبیقی [7,6] و کنترل مود لغزشی [9,8] نام برد. کاربرد روش کنترل بهینه در مسائل کنترل اعتبار و جایگاه خاص خود را دارد؛ اما در حالت کلی استخراج حل تحلیلی برای آن غامض است. استخراج روابط صریح برای ضرایب قانون بهینه حتی برای مسائل خطی نیز بر حسب نوع قیود مسئله و با افزایش مرتبه سیستم دشوار است.

در مسائل هدایت و کنترل یکپارچه با توجه به مرتبه بالای سیستم و همچنین در هدایت خطدید به علت افزوده شدن ترم مجذور فاصله از خطدید در معیار عملکرد، استخراج روابط تحلیلی برای بهینه دشوارتر می‌شود. البته در منابع از حل عددی معادله جبری ریکاتی که منجره استخراج بهره‌های بهینه پایا می‌شود، استفاده شده است [10,11]. در قانون هدایت خطدید، هدف آن است که وسیله پروازی همواره بر روی خط وصل بین هدف و ردیاب هدف (خطدید) قرار گیرد. به عبارت دیگر در هدایت خطدید، فاصله (عمودی) وسیله پروازی از خطدید به عنوان خطأ در نظر گرفته شده و دستور شتاب به منظور صفر کردن این خطأ محاسبه می‌شود. البته قوانین هدایت خطدید بهینه برای سیستم یکپارچه نیز به علت همان ترم مجذور فاصله از خطدید از مسائل هدایت دو نقطه‌ای غامض‌تر است. به‌طور نمونه، هدایت خطدید بهینه برای سیستم‌های غیریکپارچه تنها برای هدف ثابت و سیستم کنترل مرتبه صفرم (ایده‌آل) تا مرتبه دوم در حالت تک بعدی در منابع ذکر شده است [15-12].

در مرجع [10] روند کلی روابط کنترل بهینه برای هدایت خطدید مطابق منابع کنترل بهینه آورده شده است و در آن تنها به عملکرد هدایت و کنترل یکپارچه بهینه خطدید و حل جبری معادله ریکاتی برای استخراج ضرایب

زمان نهایی معین τ_f (مقدار ثابت از پیش تعیین شده) کمینه شود.

$$\begin{cases} \hat{h}(0) = \hat{h}_0 & \hat{h}(\tau_f) = 0 \\ \hat{v}(0) = \hat{v}_0 & \hat{v}(\tau_f) = \text{free} \\ \hat{x}_1(0) = \hat{x}_{1_0} & \hat{x}_1(\tau_f) = \text{free} \\ \hat{x}_2(0) = \hat{x}_{2_0} & \hat{x}_2(\tau_f) = \text{free} \end{cases} \quad (8)$$

در روابط فوق، زیرنویس "0" نمایانگر مقدار اولیه است.تابع هامیلتونی مسئله بصورت رابطه (9) نوشته می‌شود:

$$\begin{aligned} \mathcal{H} = & \frac{1}{2}\hat{b}\hat{h}^2 + \frac{1}{2}\delta_c^2 + \lambda_h\hat{h} \\ & + \lambda_v[\hat{k}_1\hat{\omega}^2(1 + \hat{\omega}^2\tau_z^2)\hat{x}_1 + \hat{k}_1\hat{\omega}^4\tau_z^2\hat{x}_2 - \hat{k}_1\hat{\omega}^2\tau_z^2\delta_c] \\ & + \lambda_{x_1}\hat{x}_2 + \lambda_{x_2}[-\hat{\omega}^2\hat{x}_1 - \hat{\omega}^2\hat{x}_2 + \delta_c] \end{aligned} \quad (9)$$

که در آن، ضرایب لاغرانژ با λ_h و λ_{x_1} و λ_{x_2} نمایش داده شده است. با استفاده از روابط کنترل بهینه می‌توان نوشت:

$$\begin{cases} \frac{\partial \mathcal{H}}{\partial \delta_c} = 0 \rightarrow \delta_c = \hat{k}_1\hat{\omega}^2\tau_z^2\lambda_v - \lambda_{x_2} \\ \frac{d(\vec{\lambda})}{dt} = -\frac{\partial \mathcal{H}}{\partial \vec{X}} \rightarrow \begin{cases} \lambda'_h = -\hat{b}\hat{h} \\ \lambda'_v = -\lambda_h \\ \lambda'_{x_1} = -\hat{k}_1\hat{\omega}^2(1 + \hat{\omega}^2\tau_z^2)\lambda_v + \hat{\omega}^2\lambda_{x_2} \\ \lambda'_{x_2} = -\hat{k}_1\hat{\omega}^4\tau_z^2\lambda_v - \lambda_{x_1} + \hat{\omega}^2\lambda_{x_2} \end{cases} \end{cases} \quad (10)$$

که در آن، ضرایب کنترل بهینه می‌توان نوشت: معادلات مستخرج مرتبه یک می‌توان نوشت:

$$\frac{d[\vec{X}]}{dt} = A_p[\vec{X}], \quad A_p = \begin{bmatrix} A_s & -BB^T \\ -Q & -A^T \end{bmatrix} \quad (11)$$

که در آن،

$$A_s = \begin{bmatrix} 0 & 1 & 0 & 0 \\ 0 & 0 & \hat{k}_1\hat{\omega}^2(1 + \hat{\omega}^2\tau_z^2) & \hat{k}_1\hat{\omega}^4\tau_z^2 \\ 0 & 0 & 0 & 1 \\ 0 & 0 & -\hat{\omega}^2 & -\hat{\omega}^2 \end{bmatrix}, \quad B = \begin{bmatrix} 0 & \hat{b} & 0 & 0 \\ -\hat{k}_1\hat{\omega}^2\tau_z^2 & 0 & 0 & 0 \\ 0 & 0 & 0 & 0 \\ 1 & 0 & 0 & 0 \end{bmatrix}, \quad Q = \begin{bmatrix} 0 & 0 & 0 & 0 \\ 0 & 0 & 0 & 0 \\ 0 & 0 & 0 & 0 \\ 0 & 0 & 0 & 0 \end{bmatrix} \quad (12)$$

در رابطه فوق، A_s و B به ترتیب ماتریس سیستم و ورودی برای سیستم (2) است. همچنین Q ماتریس وزنی متغیرهای حالت در فرم متعارف معیار عملکرد مسئله رگولاتور است. حل سیستم خطی (11) بین زمان حال و زمان نهایی (یعنی بعد)، مطابق حل کلی مسئله خطی، بصورت (13) نوشته می‌شود:

$$\begin{bmatrix} \vec{X}(\tau_f) \\ \vec{\lambda}(\tau_f) \end{bmatrix}_{8 \times 1} = \Phi(\tau_{go}) \begin{bmatrix} \vec{X}(\tau) \\ \vec{\lambda}(\tau) \end{bmatrix}_{8 \times 1} \quad (13)$$

که در آن، $\Phi(\tau)$ ماتریس انتقال حالت برای ماتریس سیستم A_p است. بنابراین،

$$\Phi(\tau) = \mathcal{L}^{-1}\{(SI - A_p)^{-1}\}_{\tau} \quad (14)$$

که در آن، I ماتریس همانی با ابعاد 8×8 است. اگرچه معادلات کلی حل بهینه مسئله خطی در منابع موجود است؛ اما استخراج تحلیلی ماتریس انتقال حالت، ریشه‌هایی معادله مشخصه آن و ضرایب «قانون هدایت و کنترل یکپارچه» با افزایش مرتبه سیستم غامض تر می‌شود. برای مسئله حاضر، استخراج تحلیلی ماتریس انتقال حالت در پیوست الف آمده است. با توجه به معین بودن مقدار نهایی h و آزاد بودن سایر مقادیر نهایی

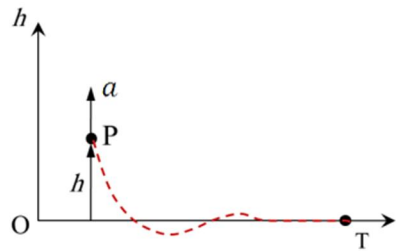


Fig. 1 Geometry of one-dimensional problem

شکل ۱ هندسه تکبعدی مسئله

ایدهآل مطابق مرجع [16] استفاده شده است. معادلات حالت مسئله با استفاده از روابط کنترل‌پذیر متعارف مطابق مرجع [17] برای استخراج می‌شود. در ادامه، فرم بی بعد معادلات حالت بصورت رابطه (2) نوشته می‌شود:

$$\begin{cases} \hat{h}' = \hat{v} \\ \hat{v}' = \hat{k}_1\hat{\omega}^2(1 + \hat{\omega}^2\tau_z^2)\hat{x}_1 + 2\zeta\hat{k}_1\hat{\omega}^3\tau_z^2\hat{x}_2 - \hat{k}_1\hat{\omega}^2\tau_z^2\delta_c \\ \hat{x}'_1 = \hat{x}_2 \\ \hat{x}'_2 = -\hat{\omega}^2\hat{x}_1 - 2\zeta\hat{\omega}\hat{x}_2 + \delta_c \end{cases} \quad (2)$$

که در آن، پارامترهای بی بعد بصورت رابطه (3) تعریف می‌شود:
 $\tau = \frac{t}{T}$, $\tau_f = \frac{t_f}{T}$, $\tau_{go} = \frac{t_{go}}{T}$, $\tau_z = \frac{T_z}{T}$, $\hat{k}_1 = \frac{k_1}{A}$, $\hat{\omega} = \omega T$
 $\hat{h} = \frac{h}{AT^2}$, $\hat{v} = \frac{v}{AT}$, $\hat{x}_1 = \frac{x_1}{T^2}$, $\hat{x}_2 = \frac{x_2}{T}$, $\hat{\alpha} = \frac{a}{A}$ (3)

همچنین، $= d(\cdot)/dt$ بی بعد بصورت $'$ نمایانگر مشتق نسبت به زمان بی بعد T ثابت زمانی معادل سیستم یکپارچه هدایت و کنترل (1)، t_f زمان نهایی، t_{go} زمان باقیمانده تا زمان نهایی (تا رسیدن به هدف)، A پارامتر بی بعدسازی با دیمانسیون مشابه ستاب، v مؤلفه سرعت و سیله پروازی در جهت عمود بر خط‌ددید (در راستای محور h) و x_1 و x_2 متغیرهای حالت واسط هستند. ثابت زمانی معادل سیستم هدایت و کنترل یکپارچه مذکور را می‌توان مطابق منابع هدایت بصورت رابطه (4) تقریب زد [16]:

$$T = \frac{2\zeta}{\hat{\omega}} + T_z - T_z = \frac{2\zeta}{\hat{\omega}} \quad (4)$$

بنابراین، با توجه به رابطه (3) می‌توان نوشت:

$$2\zeta = \hat{\omega} \quad (5)$$

بنابراین با جایگذاری رابطه فوق در معادلات حالت (2)، می‌توان آن را از این معادلات حذف کرد. ستاب مانوری (a) نیز به عنوان خروجی بصورت رابطه (6) محاسبه می‌شود. این رابطه، همان رابطه خروجی در فرم کنترل‌پذیر متعارف است که با استفاده از پارامترهای رابطه (3) بی بعد شده است.

$$\hat{\alpha} = \hat{k}_1\hat{\omega}^2(1 + \hat{\omega}^2\tau_z^2)\hat{x}_1 + \hat{k}_1\hat{\omega}^4\tau_z^2\hat{x}_2 - \hat{k}_1\hat{\omega}^2\tau_z^2\delta_c \quad (6)$$

مسئله هدایت خط‌ددید بهینه

معیار عملکرد بی بعد در «قانون هدایت و کنترل یکپارچه خط‌ددید بهینه» را می‌توان بصورت رابطه (7) نوشت:

$$\frac{3}{T} = \frac{1}{2} \int_0^{\tau_f} [\hat{b}\hat{h}^2 + \delta_c^2] d\tau, \quad \hat{b} = bA^2T^4 \quad (7)$$

که در آن، δ_c دستور زاویه انحراف بالک به عنوان ورودی کنترلی به سیستم و b ضریب وزنی برای مجدور فاصله از خط‌ددید است.

در ادامه، مسئله «هدایت و کنترل یکپارچه خط‌ددید بهینه» بصورت بی بعد تعریف می‌شود. ورودی کنترل δ باید بگونه‌ای استخراج شود که تابع عملکرد (7) منوط به معادلات حالت (2) و شرایط اولیه و نهایی (8) به ازای

$$\begin{cases} f_{n_1} = \phi_{15}\phi_{67} - \phi_{17}\phi_{65} \\ f_{n_2} = \phi_{15}\phi_{77} - \phi_{17}\phi_{75} \\ f_{n_3} = \phi_{15}\phi_{87} - \phi_{17}\phi_{85} \\ f_{n_4} = \phi_{65}\phi_{77} - \phi_{67}\phi_{75} \\ f_{n_5} = \phi_{65}\phi_{87} - \phi_{67}\phi_{85} \\ f_{n_6} = \phi_{75}\phi_{87} - \phi_{77}\phi_{85} \end{cases} \quad (24)$$

$$|P_2(\tau_{go})| = \phi_{18}f_5 + \phi_{68}f_6 + \phi_{78}f_7 + \phi_{88}f_8 \quad (25)$$

لازم به ذکر است که ϕ_{ij} در روابط (20) الی (25) تابعی از τ_{go} است که برای خلاصه‌نویسی نمایش داده نشده است. البته المان‌های ماتریس انتقال حالت، تابعی از ثوابت \hat{b} , \hat{k}_1 , $\hat{\omega}$ و τ_z نیز می‌باشد. در نهایت با جایگذاری ضرایب لگرانژ λ_v و λ_{x_2} از رابطه (19) در رابطه (10)، دستور زاویه انحراف بهینه بالک بصورت صریح و حلقه‌بسته به دست می‌آید:

$$\delta_c = -C_h h - C_v v - C_{x_1}x_1 - C_{x_2}x_2 \quad (26)$$

که در آن،

$$C_h = \frac{\hat{C}_h}{AT^2}, \quad C_v = \frac{\hat{C}_v}{AT}, \quad C_{x_1} = \frac{\hat{C}_{x_1}}{T^2}, \quad C_{x_2} = \frac{\hat{C}_{x_2}}{T} \quad (27)$$

همچنین:

$$\begin{cases} \hat{C}_h = -\hat{k}_1\hat{\omega}^2\tau_z^2\hat{C}_1 + \hat{C}_5 \\ \hat{C}_v = -\hat{k}_1\hat{\omega}^2\tau_z^2\hat{C}_2 + \hat{C}_6 \\ \hat{C}_{x_1} = -\hat{k}_1\hat{\omega}^2\tau_z^2\hat{C}_3 + \hat{C}_7 \\ \hat{C}_{x_2} = -\hat{k}_1\hat{\omega}^2\tau_z^2\hat{C}_4 + \hat{C}_8 \end{cases} \quad (28)$$

همان‌گونه که ملاحظه می‌شود، ضرایب قانون بهینه فوق علاوه بر τ_{go} تابعی از ثوابت \hat{b} , \hat{k}_1 , $\hat{\omega}$ و τ_z نیز است.

رفتار ضرایب بی‌بعد «قانون هدایت و کنترل یکپارچه خطدید بهینه» برای سیستم مرتبه دوم (26) در "شکل 2 و 3" برحسب زمان باقیمانده "2" بی‌بعد به‌ازای ضرایب مختلف وزنی \hat{b} و \hat{k}_1 ترسیم شده است. از "شکل 2" ملاحظه می‌شود که با افزایش ضریب وزنی بی‌بعد، ضرایب بهره بی‌بعد سریعتر به مقدار پایای خود رسید. نکته مهم دیگری که در دو "شکل 2 و 3" مشاهده می‌شود، صفر شدن ضرایب و تغییر علامت ضرایب در نزدیکی انتهای مسیر است. این رفتار به علت وجود صفر ناکمینه‌فاز در سیستم کنترلی است. در مرجع [15] این مساله بصورت دقیق‌تر بررسی شده است. همچنین در "شکل 3" ملاحظه می‌شود که به ازای مقادیر $\hat{k}_1 = 1, 2, 4, 6$ ، مقدار بهره اول (C_h) به یک مقدار پایای یکسان می‌رسد؛ به عبارت دیگر، ضریب \hat{k}_1 در مقدار پایای این بهره اثری ندارد. این موضوع از لحاظ ریاضی در ادامه اثبات شده است.

همان‌طور که ملاحظه شد، بهره‌های «قانون هدایت و کنترل یکپارچه خطدید بهینه» برای سیستم مرتبه دوم به یک مقدار پایای می‌رسد. بهره‌های پایای را می‌توان با استفاده از معادله جبری ریکاتی (29) محاسبه نمود:

$$\dot{S} = -SA_S - A_S^T S - Q + SBB^T S = 0 \quad (29)$$

که در آن، S یک ماتریس متقابله 4×4 است. بهطور نمونه:

$$S = \begin{bmatrix} S_1 & S_5 & S_6 & S_7 \\ S_5 & S_2 & S_8 & S_9 \\ S_6 & S_8 & S_3 & S_{10} \\ S_7 & S_9 & S_{10} & S_4 \end{bmatrix} \quad (30)$$

با جایگذاری S و ماتریس‌های A_S , B و Q در رابطه (29)، دستگاه معادلات 10 معادله و 10 مجهول حاصل می‌شود. با انجام عملیات متعدد ریاضی و حل دستگاه معادلات، ماتریس S بدست آمده و متعاقباً بردار ضرایب لگرانژ محاسبه می‌شود ($\vec{\lambda} = S\vec{X}$). در نتیجه با جایگذاری برای بردار ضرایب لگرانژ در رابطه (10)، دستور زاویه انحراف بالک بصورت (31) حاصل می‌شود:

متغیرهای حالت، شرایط اولیه و نهایی مورد نیاز برای حل مسئله بصورت رابطه (15) بازنویسی می‌شود:

$$\begin{cases} \hat{h}(0) = \hat{h}_0 \\ \hat{v}(0) = \hat{v}_0 \\ \hat{x}_1(0) = \hat{x}_{1_0} \\ \hat{x}_2(0) = \hat{x}_{2_0} \end{cases} \quad \begin{cases} \hat{h}(\tau_f) = 0 \\ \lambda_v(\tau_f) = 0 \\ \lambda_{x_1}(\tau_f) = 0 \\ \lambda_{x_2}(\tau_f) = 0 \end{cases} \quad (15)$$

با قرار دادن مقادیر نهایی (15) برای سطر اول و سه سطر آخر معادله ماتریسی (13) می‌توان نوشت:

$$P_1(\tau_{go})\vec{X}(\tau) + P_2(\tau_{go})\vec{\lambda}(\tau) = \vec{0} \quad (16)$$

که در آن،

$$P_1(\tau_{go}) = \begin{bmatrix} \phi_{11}(\tau_{go}) & \phi_{12}(\tau_{go}) & \phi_{13}(\tau_{go}) & \phi_{14}(\tau_{go}) \\ \phi_{61}(\tau_{go}) & \phi_{62}(\tau_{go}) & \phi_{63}(\tau_{go}) & \phi_{64}(\tau_{go}) \\ \phi_{71}(\tau_{go}) & \phi_{72}(\tau_{go}) & \phi_{73}(\tau_{go}) & \phi_{74}(\tau_{go}) \\ \phi_{81}(\tau_{go}) & \phi_{82}(\tau_{go}) & \phi_{83}(\tau_{go}) & \phi_{84}(\tau_{go}) \end{bmatrix} \quad (17)$$

$$P_2(\tau_{go}) = \begin{bmatrix} \phi_{15}(\tau_{go}) & \phi_{16}(\tau_{go}) & \phi_{17}(\tau_{go}) & \phi_{18}(\tau_{go}) \\ \phi_{65}(\tau_{go}) & \phi_{66}(\tau_{go}) & \phi_{67}(\tau_{go}) & \phi_{68}(\tau_{go}) \\ \phi_{75}(\tau_{go}) & \phi_{76}(\tau_{go}) & \phi_{77}(\tau_{go}) & \phi_{78}(\tau_{go}) \\ \phi_{85}(\tau_{go}) & \phi_{86}(\tau_{go}) & \phi_{87}(\tau_{go}) & \phi_{88}(\tau_{go}) \end{bmatrix} \quad (18)$$

در روابط اخیر، $\phi_{ij}(\tau_{go})$ المان سطر i و ستون j ماتریس انتقال حالت (14) است. اگر P_2 معکوس پذیر باشد، $\vec{\lambda}(\tau)$ از رابطه (16) محاسبه می‌شود. البته با توجه به رابطه (10)، برای محاسبه دستور زاویه انحراف بالک، مؤلفه دوم و چهارم بردار (τ) $\vec{\lambda}$ نیاز است. بنابراین،

$$\begin{cases} \lambda_v(\tau) = \hat{C}_1(\tau_{go})\hat{h} + \hat{C}_2(\tau_{go})\hat{v} + \hat{C}_3(\tau_{go})\hat{x}_1 + \hat{C}_4(\tau_{go})\hat{x}_2 \\ \lambda_{x_2}(\tau) = \hat{C}_5(\tau_{go})\hat{h} + \hat{C}_6(\tau_{go})\hat{v} + \hat{C}_7(\tau_{go})\hat{x}_1 + \hat{C}_8(\tau_{go})\hat{x}_2 \end{cases} \quad (19)$$

که در آن،

$$\begin{cases} \hat{C}_1(\tau_{go}) = -f_1\phi_{11} - f_2\phi_{61} - f_3\phi_{71} - f_4\phi_{81} \\ \hat{C}_2(\tau_{go}) = -f_1\phi_{12} - f_2\phi_{62} - f_3\phi_{72} - f_4\phi_{82} \\ \hat{C}_3(\tau_{go}) = -f_1\phi_{13} - f_2\phi_{63} - f_3\phi_{73} - f_4\phi_{83} \\ \hat{C}_4(\tau_{go}) = -f_1\phi_{14} - f_2\phi_{64} - f_3\phi_{74} - f_4\phi_{84} \end{cases} \quad (20)$$

$$\begin{cases} \hat{C}_5(\tau_{go}) = -f_5\phi_{11} - f_6\phi_{61} - f_7\phi_{71} - f_8\phi_{81} \\ \hat{C}_6(\tau_{go}) = -f_5\phi_{12} - f_6\phi_{62} - f_7\phi_{72} - f_8\phi_{82} \\ \hat{C}_7(\tau_{go}) = -f_5\phi_{13} - f_6\phi_{63} - f_7\phi_{73} - f_8\phi_{83} \\ \hat{C}_8(\tau_{go}) = -f_5\phi_{14} - f_6\phi_{64} - f_7\phi_{74} - f_8\phi_{84} \end{cases} \quad (21)$$

همچنین:

$$\begin{cases} f_1(\tau_{go}) = \frac{1}{|P_2|}(-f_{n_6}\phi_{68} + f_{n_5}\phi_{78} - f_{n_4}\phi_{88}) \\ f_2(\tau_{go}) = \frac{1}{|P_2|}(+f_{n_6}\phi_{18} - f_{n_3}\phi_{78} + f_{n_2}\phi_{88}) \\ f_3(\tau_{go}) = \frac{1}{|P_2|}(-f_{n_5}\phi_{18} + f_{n_3}\phi_{68} - f_{n_1}\phi_{88}) \\ f_4(\tau_{go}) = \frac{1}{|P_2|}(+f_{n_4}\phi_{18} - f_{n_2}\phi_{68} + f_{n_1}\phi_{78}) \end{cases} \quad (22)$$

$$\begin{cases} f_5(\tau_{go}) = \frac{1}{|P_2|}(+f_{n_6}\phi_{66} - f_{n_5}\phi_{76} + f_{n_4}\phi_{86}) \\ f_6(\tau_{go}) = \frac{1}{|P_2|}(-f_{n_6}\phi_{16} + f_{n_3}\phi_{76} - f_{n_2}\phi_{86}) \\ f_7(\tau_{go}) = \frac{1}{|P_2|}(+f_{n_5}\phi_{16} - f_{n_3}\phi_{66} + f_{n_1}\phi_{86}) \\ f_8(\tau_{go}) = \frac{1}{|P_2|}(-f_{n_4}\phi_{16} + f_{n_2}\phi_{66} - f_{n_1}\phi_{76}) \end{cases} \quad (23)$$

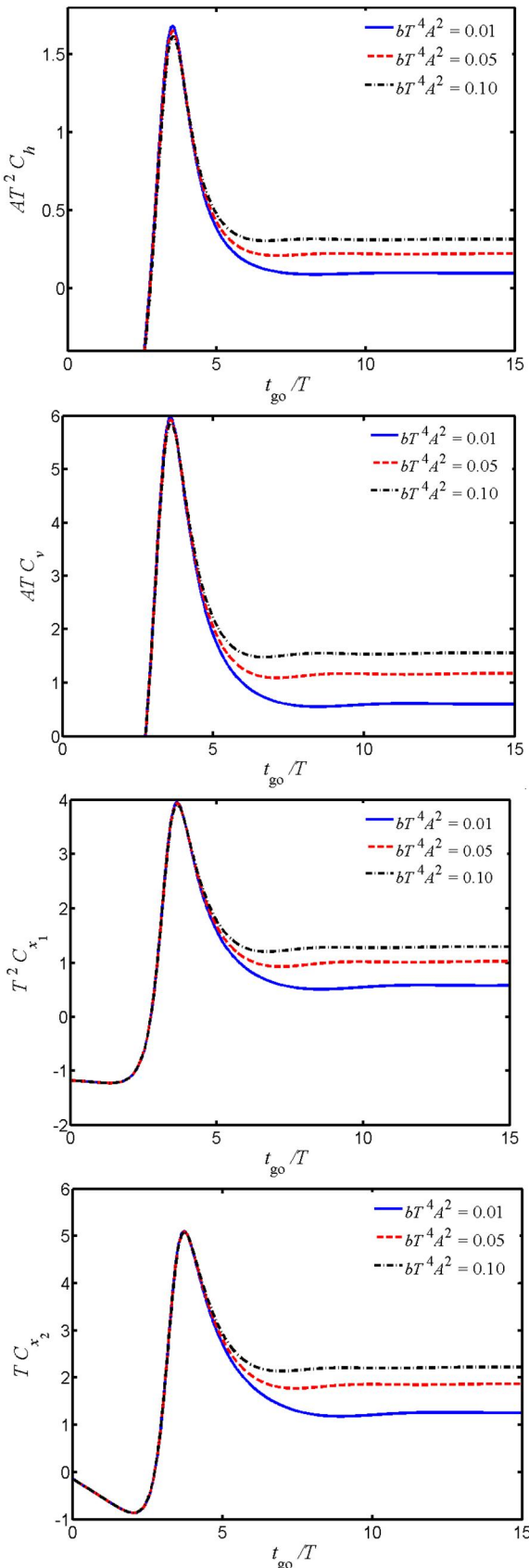


Fig. 2 Behavior of normalized guidance gains (26) for different values of \hat{b} = 0.01, 0.05, 0.1 ($k_1/A = 4$, $\omega T = 0.3$, $T_z/T = 1.2$)

شکل 2 رفتار ضرایب بی بعد قانون هدایت (26) به ازای مقادیر مختلف ضریب وزنی \hat{b} (بعد $k_1/A = 4$, $\omega T = 0.3$, $T_z/T = 1.2$)

$$\delta_c(\tau) = -\hat{C}_h(\infty) \hat{h} - \hat{C}_v(\infty) \hat{v} - \hat{C}_{x_1}(\infty) \hat{x}_1 - \hat{C}_{x_2}(\infty) \hat{x}_2 \quad (31)$$

که در آن،

$$\begin{cases} \hat{C}_h(\infty) = \sqrt{\hat{b}} \\ \hat{C}_v(\infty) = \sqrt{2S_5} \\ \hat{C}_{x_1}(\infty) = \hat{\omega} \sqrt{\hat{\omega}^2 + 2S_8} - \hat{\omega}^2 \\ \hat{C}_{x_2}(\infty) = \sqrt{\hat{\omega}^4 + 2S_{10}} - \hat{\omega}^2 \end{cases} \quad (32)$$

نحوه استخراج روابط سه عنصر S_5 , S_8 و S_{10} در پیوست ب آمده است.

4-بحث و نتایج شبیه‌سازی

در اینجا، عملکرد «قانون هدایت و کنترل یکپارچه خطدید» بینه مرتبه دوم «مطابق رابطه (26) با استفاده از حل عددی و برای اهداف ثابت بررسی می‌شود. لازم به ذکر است در شبیه‌سازی‌های عددی، مدل وسیله پروازی به صورت تابع تبدیل مرتبه دوم با اعمال زاویه اشباع بالک (δ_{sat}) لحاظ شده است. به منظور تحلیل عملکردی بی بعد و مطالعه پارامتری می‌توان از چهار پارامتر بی بعد کننده $A = k_1$, $A = h_0/T^2$, $A = v_0/T$, $A = \hat{v}_0/T^2$ در $A = k_1 \delta_{sat}$ و $A = k_1$, $A = h_0 = v_0/T$, $A = \hat{v}_0 = \hat{v}_0/T$ بررسی شرایط و ستاریوهای مختلف استفاده نمود. اعمال هر یک از این پارامترها برای یک دسته مشخص از سناریوها مناسب است. به طور نمونه، با استفاده از پارامتر بی بعد کننده $A = h_0/T^2$, می‌توان دستور زاویه انحراف بالک و دیگر مقادیر عملکردی را برای تمام مقادیر اولیه فاصله از خطدید و ثابت زمانی سیستم بهازای مقادیر ثابت $v_0/T/h_0$ در نموداری ترسیم نمود. البته برای حالتی که $v_0 = 0$ است، نتایج و نمودارهای عملکردی بی بعد مذکور عملاً همه حالات را شامل می‌شود.

در ابتدا رفتار پارامترهای مهم «قانون هدایت و کنترل یکپارچه خطدید» بینه مرتبه دوم (SOOG-IGC) با زمان و تغییر فرکانس طبیعی سیستم (فرکانس دامنه کوتاه) و محل صفر تابع تبدیل سیستم کنترل اجمالاً بررسی می‌شود. برای این منظور در "شکل 4"، «فاصله عمودی بی بعد وسیله پروازی از خطدید»، «شتاب بی بعد وسیله پروازی» و «مقدار انحراف زاویه بالک» بر حسب زمان بی بعد، بهازای مقادیر فرکانس طبیعی بی بعد $\hat{\omega} = 0.1, 0.3, 0.5$ ترسیم شده است. در شکل مذکور از $A = v_0/T$ به عنوان پارامتر بی بعد کننده استفاده شده است. همان‌طور که در "شکل 6" مشاهده می‌شود با افزایش $\hat{\omega}$ ، مقدار شتاب و زاویه انحراف بالک در لحظات ابتدایی بیشتر شده که این امر سبب کاهش سریع تر فاصله وسیله پروازی از خطدید می‌شود. لازم به ذکر است که با توجه به مساله حاضر، تابع هامیلتونی تابع صریحی از زمان نبوده و زمان نهایی ثابت فرض شده است، مقدار آن باید یک مقدار ثابت شود. با حل عددی و شبیه‌سازی صورت گرفته و با انتخاب گام زمانی انگرال‌گیری مناسب، صحت این مساله بررسی شد.

در ادامه، خطای نهایی بی بعد «قانون هدایت و کنترل یکپارچه خطدید» بینه مرتبه دوم بررسی شده و نتایج با قانون مذکور بهازای ضرایب پایه پایا که در شکل‌ها با نماد ($t_f = \infty$) SOOG-IGC ($t_f = \infty$) مشخص شده، مقایسه می‌شود. در "شکل‌های 5 الی 7"، خطای نهایی بی بعد برای دو «قانون هدایت و کنترل یکپارچه خطدید» بینه مرتبه دوم و «قانون هدایت و کنترل یکپارچه خطدید» بینه مرتبه دوم با نماد ($t_f = \infty$) بر حسب زمان نهایی بی بعد بهازای سه از چهار پارامتر بی بعد کننده مطرح شده ترسیم شده است. همان‌طور که در این سه شکل مشاهده می‌شود، با توجه به شرایط و مقادیر مفروض، در مجموع «قانون هدایت و کنترل یکپارچه خطدید» بینه مرتبه دوم از حالت پایای آن دارای خطای کمتری است. البته در برخی از بارهای زمانی کوچک برای

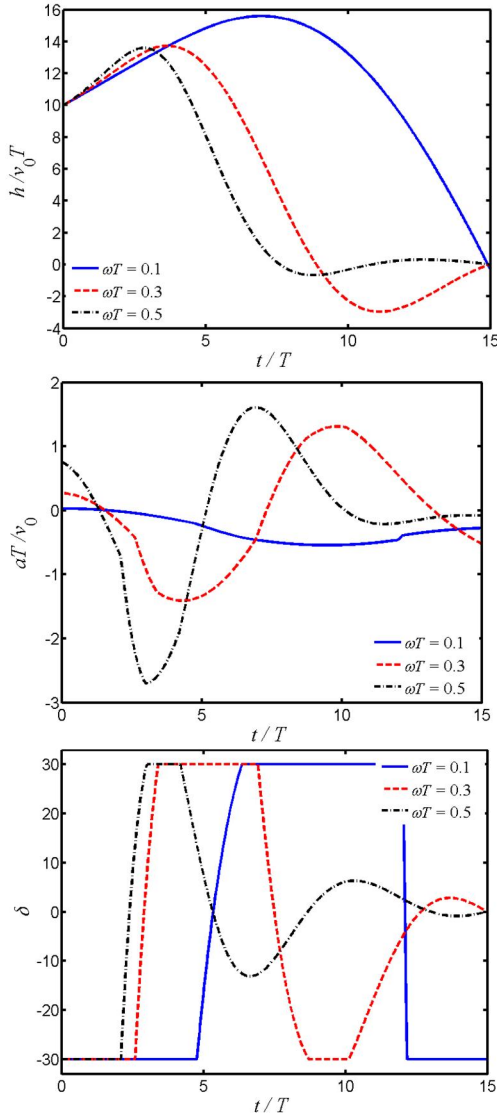


Fig. 4 Normalized distance from LOS, acceleration, and fin deflection vs normalized time for different values of $\hat{\omega} = 0.1, 0.3, 0.5$ ($k_1/A = 4$, $T_z/T = 1.2$, $bT^2 v_0^2 = 0.05$, $\delta_{\text{sat}} = 30^\circ$)

شکل 4 فاصله بی بعد از خطدید، شتاب پرندۀ و زاویه انحراف بالک بر حسب زمان

$$\begin{aligned} \hat{\omega} &= 0.1, 0.3, 0.5 \\ (k_1/A) &= 4, T_z/T = 1.2, bT^2 v_0^2 = 0.05, \delta_{\text{sat}} = 30^\circ \end{aligned}$$

زمان نهایی بی بعد، به علت رفتار شبۀ نوسانی، خطای قانون هدایت پایا کمتر بوده که مجموعا در مقایسه قابل اغماض است. شایان ذکر است که "شکل های 5 و 6" به ازای مقدار اشباع $\delta_{\text{sat}} = 30^\circ$ ترسیم شده است؛ در صورتی که در "شکل 7"، با پارامتر بی بعدسازی $A = k_1 \delta_{\text{sat}}$ نتایج به ازای تمام مقادیر شتاب اشباع، قابل استخراج است.

در ادامه، تحلیل پارامتری فاصله خطای بی بعد برای دو «قانون هدایت و کنترل یکپارچه خطدید بهینه مرتبه دوم (SOOG-IGC)» و «قانون هدایت و کنترل یکپارچه خطدید بهینه مرتبه دوم پایا (SOOG-IGC- $t_f = \infty$)» به ازای ضریب وزنی، اشباع زاویه بالک، بهره و فرکانس طبیعی تابع تبدیل سیستم کنترل با استفاده از پارامترهای مختلف بی بعد کننده A ارائه می شود. در "شکل 8" فاصله خطای نهایی بی بعد بر حسب ضریب وزنی بی بعد \hat{b} برای دو قانون هدایت مذکور به ازای دو مقدار 30 و 50 درجه برای زاویه اشباع بالک

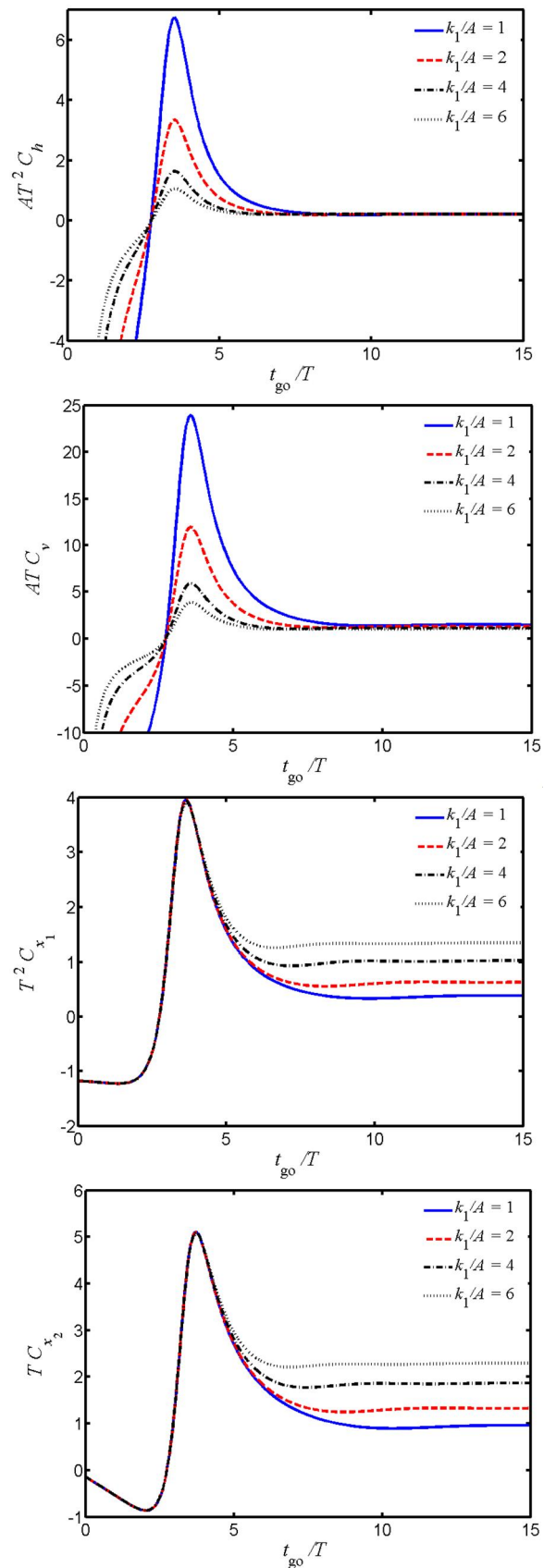


Fig. 3 Behavior of normalized guidance gains (26) for different values of $\hat{k}_1 = 1, 2, 4, 6$ ($bT^4 A^2 = 0.05$, $\omega T = 0.3$, $T_z/T = 1.2$)

شکل 3 رفتار ضرایب بی بعد قانون هدایت (26) به ازای مقادیر مختلف $\hat{k}_1 = 1, 2, 4, 6$ ($bT^4 A^2 = 0.05$, $\omega T = 0.3$, $T_z/T = 1.2$)

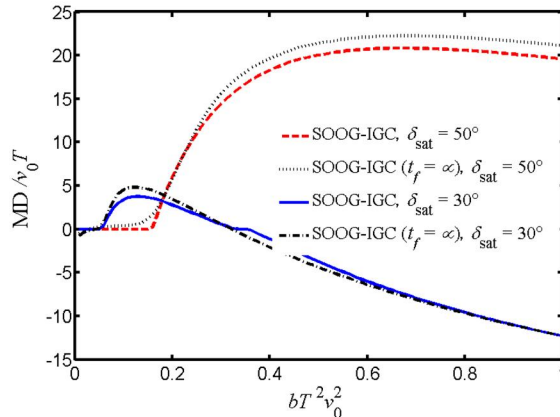


Fig. 8 Normalized miss distance vs normalized weighting factor for the two guidance laws with different values of $\delta_{\text{sat}} = 30^\circ, 50^\circ$ ($t_f/T = 15$, $h_0/v_0 T = 10$, $k_1 T/v_0 = 4$, $T_z/T = 1.2$, $\omega T = 0.3$)

شکل 8 خطای نهایی بر حسب ضریب وزنی بی بعد بهازای ($t_f/T = 15$, $h_0/v_0 T = 10$, $k_1 T/v_0 = 4$, $T_z/T = 1.2$, $\omega T = 0.3$)

مقایسه شده است. با افزایش ضریب وزنی، به عملت به اشباع رفتن زاویه بالک، خطای نهایی هر دو قانون هدایت افزایش می‌یابد. به طور مثال، با افزایش مقدار زاویه اشباع بالک از 30 به 50 درجه، بزرگترین مقدار ضریب وزنی بی بعدی که در آن خطای نهایی نزدیک مقدار صفر است، از 0.05 به 0.16 می‌باشد. همان‌طور که از این شکل ملاحظه می‌شود، در صورت استفاده از ضرایب بهره پایا مقدار فاصله خط افزایش می‌یابد.

خطای نهایی بی بعد بر حسب ضریب بی بعد \hat{k}_1 بهازای دو مقدار بی بعد $\hat{\omega} = 0.2, 0.3$ در "شکل 9" نمایش داده شده است. محدوده \hat{k}_1 به ازای یک فاصله خطای مجاز از "شکل 9" قابل استخراج است. تحت شرایط مفروض، با تغییر $\hat{\omega}$ از 0.2 به 0.3 فاصله خطای نهایی هر دو قانون کاهش یافته است. برای بررسی دقیق‌تر این موضوع، اثر افزایش فرکانس بی بعد در خطای نهایی در "شکل 10" ترسیم شده است. همان‌طور که از این شکل ملاحظه می‌شود، با افزایش $\hat{\omega}$ مقدار خطای نهایی دو قانون هدایت کاهش می‌یابد. با توجه به مقادیر مفروض در "شکل 10"، به ازای $0.2 < \hat{\omega} < 0.14$ ، خطای نهایی کمتر شده است؛ ولی در مجموع خطای قانون SOOG-IGC کمتر از قانون مذکور با ضرایب پایا است. با تغییر مقدار T_z از 1.2 به 1.5 از "شکل 10" ملاحظه می‌شود که در همان محدوده $\hat{\omega} < 0.14$ خطای نهایی برای "قانون هدایت و کنترل یکپارچه خطدید بهینه مرتبه دوم" کمتر شده، ولی برای قانون هدایت مذکور با بهره‌های پایا تغییر چندانی نیافته است. به طور خلاصه به ازای مقادیر مفروض، مقادیر مجاز حداقل \hat{k}_1 و حداقل $\hat{\omega}$ برای یک خطای نهایی معین، به ترتیب از "شکل‌های 8 تا 10" قابل استخراج است.

اثر افزایش مقدار زاویه اشباع بالک (δ_{sat}) در خطای نهایی در شکل 11 ارائه شده است. همان‌طور که در این شکل ملاحظه می‌شود، با افزایش زاویه اشباع بالک (به ازای $\delta_{\text{sat}} > 10^\circ$)، خطای نهایی دو قانون هدایت کاهش می‌یابد. البته برای قانون هدایت SOOG-IGC ($t_f = \infty$) با افزایش δ_{sat} مقدار خطای نهایی به یک مقدار پایای بی بعد 0.23 می‌رسد؛ ولی برای قانون SOOG-IGC

همان‌طور که اشاره شد، برای بررسی حساسیت قانون هدایت به مدل‌سازی سیستم هدایت و کنترل، عدم قطعیت پارامترهای سیستم مرتبه دوم بر قانون بهینه در کد شبیه‌سازی اعمال و اثر آن مطالعه می‌شود. عدم قطعیت در یک پارامتر (که با علامت Δ مشخص شده است) بصورت درصد

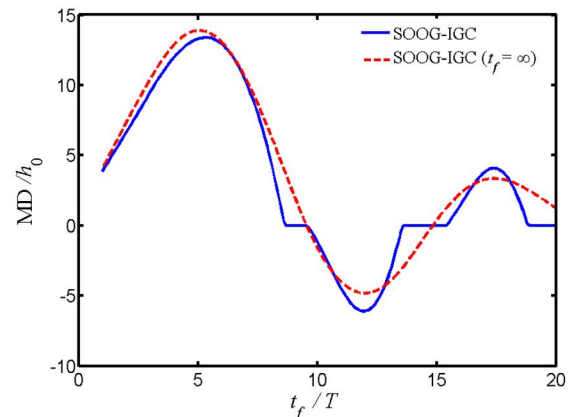


Fig. 5 خطای نهایی بر حسب زمان نهایی بی بعد ($v_0 T/h_0 = 3$, $k_1 T^2/h_0 = 4$, $T_z/T = 1.2$, $b h_0^2 = 0.05$, $\omega T = 0.3$, $\delta_{\text{sat}} = 30^\circ$, $A = h_0/T^2$)

شکل 5 خطای نهایی بر حسب زمان نهایی بی بعد ($v_0 T/h_0 = 3$, $k_1 T^2/h_0 = 4$, $T_z/T = 1.2$, $b h_0^2 = 0.05$, $\omega T = 0.3$, $\delta_{\text{sat}} = 30^\circ$, $A = h_0/T^2$)

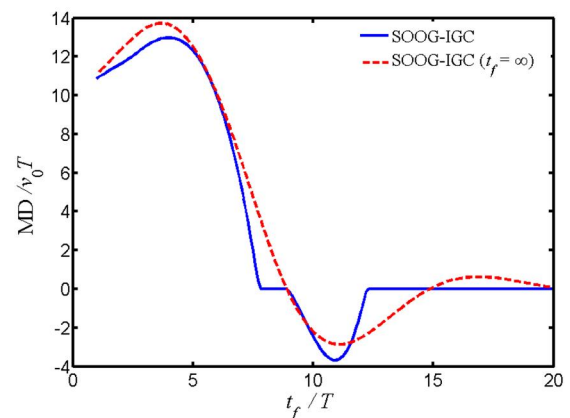


Fig. 6 Normalized miss distance vs normalized final time for the two guidance laws ($h_0/v_0 T = 10$, $k_1 T/v_0 = 4$, $T_z/T = 1.2$, $b T^2 v_0^2 = 0.05$, $\omega T = 0.3$, $\delta_{\text{sat}} = 30^\circ$, $A = v_0/T$)

شکل 6 خطای نهایی بی بعد بر حسب زمان نهایی بی بعد برای دو قانون هدایت ($h_0/v_0 T = 10$, $k_1 T/v_0 = 4$, $T_z/T = 1.2$, $b T^2 v_0^2 = 0.05$, $\omega T = 0.3$, $\delta_{\text{sat}} = 30^\circ$, $A = v_0/T$)

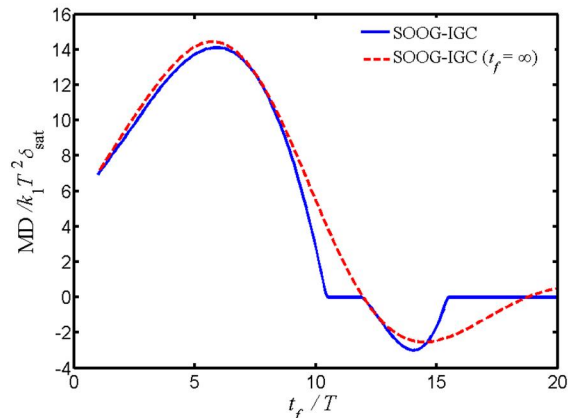


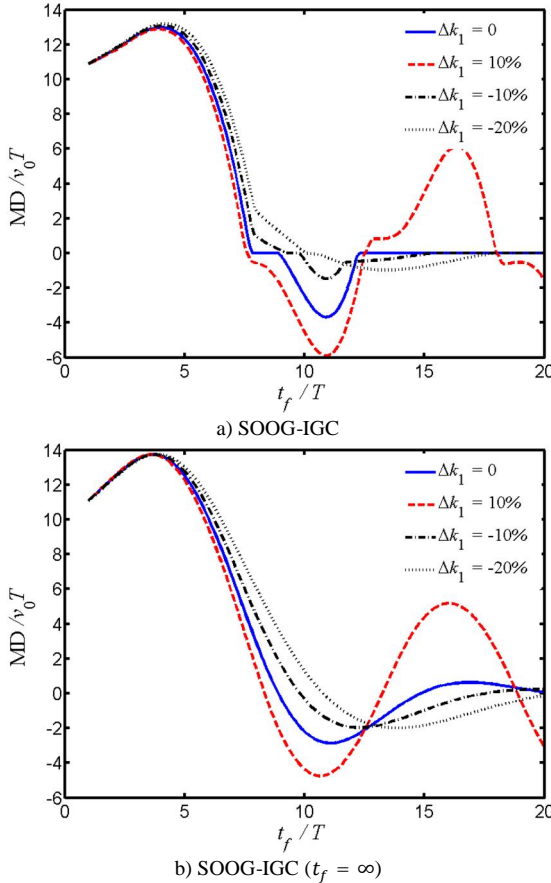
Fig. 7 Normalized miss distance vs normalized final time for the two guidance laws ($h_0/k_1 \delta_{\text{sat}} T^2 = 5$, $v_0/k_1 \delta_{\text{sat}} T = 2$, $T_z/T = 1.2$, $b T^4 k_1^2 \delta_{\text{sat}}^2 = 0.05$, $\omega T = 0.3$, $A = k_1 \delta_{\text{sat}}$)

شکل 7 خطای نهایی بی بعد بر حسب زمان نهایی بی بعد برای دو قانون هدایت ($h_0/k_1 \delta_{\text{sat}} T^2 = 5$, $v_0/k_1 \delta_{\text{sat}} T = 2$, $T_z/T = 1.2$, $b T^4 k_1^2 \delta_{\text{sat}}^2 = 0.05$, $\omega T = 0.3$, $A = k_1 \delta_{\text{sat}}$)

$$\begin{cases} \hat{k}_{1A/F} = \hat{k}_{1G}(1 + \Delta k_1/100) \\ \hat{\omega}_{A/F} = \hat{\omega}_G(1 + \Delta \omega/100) \\ \hat{\tau}_{zA/F} = \hat{\tau}_{zG}(1 + \Delta \tau_z/100) \end{cases} \quad (33)$$

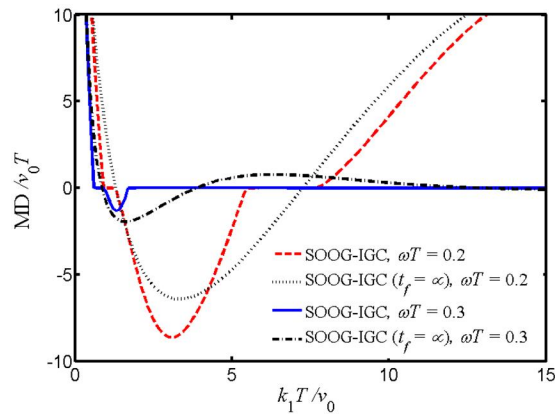
در "شکل 12" اثر عدم قطعیت در \hat{k}_1 (Δk_1) بر خطای نهایی دو قانون بهینه ترسیم شده است. همان‌طور که در این شکل مشاهده می‌شود، مقدار عدم قطعیت مثبت ۱۰٪، خطای نهایی هر دو قانون هدایت را به طور قابل ملاحظه‌ای افزایش می‌دهد؛ ولی مقدار -۱۰٪ سبب خطای نسبتاً قابل قبولی برای SOOG-IGC می‌شود. با توجه به این نکته توصیه می‌شود مقدار ۲۰٪- عدم قطعیت برای قانون SOOG-IGC در زمان‌های نهایی بی بعد SOOG-IGC مجاز است. در این حالت در مجموع، خطای نهایی $t_f/T > 18$ کمتر از $SOOG-IGC(t_f = \infty)$ می‌شود. با توجه به این نکته توصیه می‌شود تا در تخمین پارامتر \hat{k}_1 ، در حضور عدم قطعیت، مقدار کمی بزرگتری در قانون بهینه منظور شود تا در صورت وجود عدم قطعیت مثبت، خطای نهایی آن قابل قبول شود.

اثر عدم قطعیت در پارامترهای $\hat{\omega}$ و τ_z بر خطای نهایی دو قانون هدایت بهینه در "شکل‌های 13 و 14" نمایش داده شده است. همان‌طور که از این دو شکل ملاحظه می‌شود، مقدار منفی در عدم قطعیت در پارامترهای $\hat{\omega}$ و τ_z ، خطای کمتری نسبت به مقدار مثبت تولید می‌کند. به علاوه، اثر عدم قطعیت



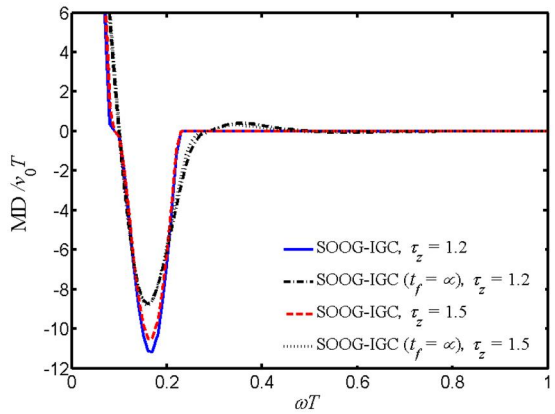
شکل 12 خطای نهایی بی بعد بر حسب زمان نهایی بی بعد بر حسب این دو قانون هدایت با $(h_0/v_0 T = 10, k_{1G} T/v_0 = 4, T_z/T = 1.2, bT^2 v_0^2 = 0.05, \omega T = 0.3, \delta_{sat} = 30^\circ)$

وجود عدم قطعیت در \hat{k}_1 ($bT^2 v_0^2 = 0.05, \omega T = 0.3, \delta_{sat} = 30^\circ$)



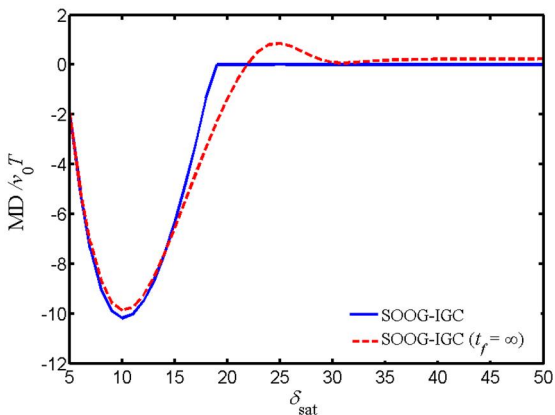
شکل 9 خطای نهایی بر حسب \hat{k}_1 برای دو قانون هدایت به ازای $(t_f/T = 15, h_0/v_0 T = 10, T_z/T = 1.2, bT^2 v_0^2 = 0.05, \delta_{sat} = 30^\circ)$

$\hat{\omega} = 0.2, 0.3$ $(t_f/T = 15, h_0/v_0 T = 10, T_z/T = 1.2, bT^2 v_0^2 = 0.05, \delta_{sat} = 30^\circ)$



شکل 10 خطای نهایی بر حسب $\hat{\omega}$ برای دو قانون هدایت به ازای $(h_0/v_0 T = 10, k_1 T/v_0 = 4, bT^2 v_0^2 = 0.05, \delta_{sat} = 30^\circ)$

$\tau_z = 1.2, 1.5$ $(h_0/v_0 T = 10, k_1 T/v_0 = 4, k_1 T/v_0 = 4, bT^2 v_0^2 = 0.05, \omega T = 0.3)$



شکل 11 خطای نهایی بی بعد بر حسب مقدار اشباع بالک برای دو قانون هدایت

$(\tau_f = 15, h_0/v_0 T = 10, k_1 T/v_0 = 4, T_z = 1.2, bT^2 v_0^2 = 0.05, \hat{\omega} = 0.3)$

بیان شده است که در آن ضرایب بی بعد با زیرنویس 6 نمایانگر مقدار آن در قانون بهینه و با زیرنویس A/F نمایانگر مقدادر مدل شبیه‌سازی پرواز است:

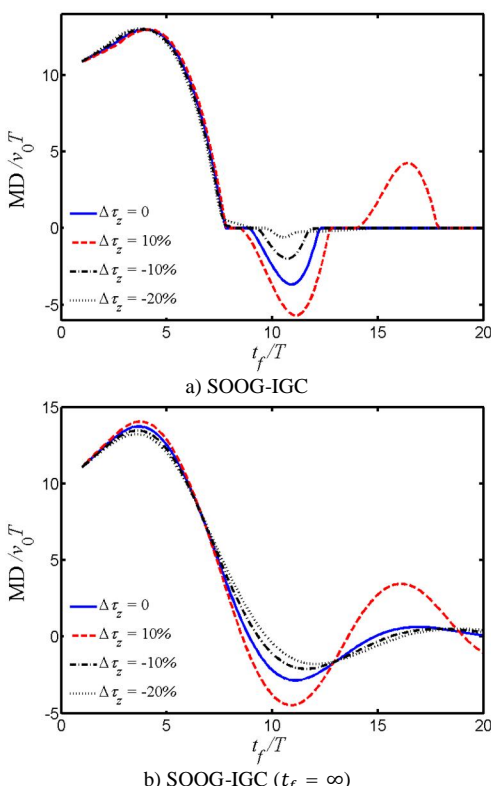
b) SOOG-IGC ($t_f = \infty$)

Fig. 14 Normalized miss distance vs normalized final time for the two guidance laws with uncertainty on τ_z ($h_0/v_0T = 10$, $k_1T/v_0 = 4$, $T_{z_G}/T = 1.2$, $bT^2v_0^2 = 0.05$, $\omega T = 0.3$, $\delta_{\text{sat}} = 30^\circ$)

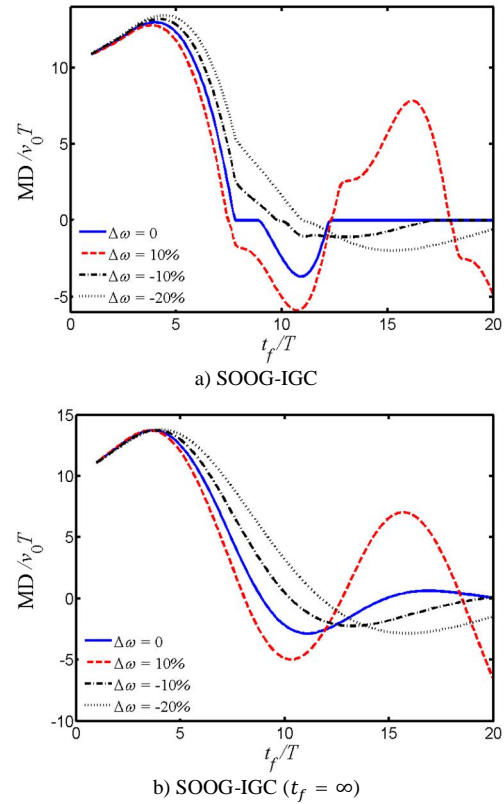
شکل 14 خطای نهایی بی بعد بر حسب زمان نهایی بی بعد برای دو قانون هدایت با وجود عدم قطعیت در τ_z ($h_0/v_0T = 10$, $k_1T/v_0 = 4$, $T_{z_G}/T = 1.2$) ($bT^2v_0^2 = 0.05$, $\omega T = 0.3$, $\delta_{\text{sat}} = 30^\circ$)

اولیه، شروع به حرکت می کند. با توجه به این شکل، در صورت وجود فاصله کافی تا هدف، خطای نهایی قابل قبول خواهد بود.

در ادامه، علاوه بر معادلات غیرخطی حاکم، حرکت هدف نیز به عنوان عدم قطعیت در مدل، با اعمال دینامیک مرتبه اول و محدودیت اشباع برای عملگر، در نظر گرفته می شود. فرض کنید هدف در لحظات پایانی، از حالت سکون با سرعت ثابتی برابر با یکدهم سرعت پرنده، در راستای عمود بر خطدید شروع به حرکت می کند. موقعیت اولیه پرنده بر روی خطدید است؛ اما خطای سمت سرعت اولیه آن 10 درجه است. خطای نهایی بی بعد در سناریو مفروض در "شکل 17" بر حسب زمان باقیمانده بی بعد مانور هدف ($T_{\text{go}_{\text{m}}/T} = T_{\text{go}_{\text{m}}/T}$) ترسیم شده است. بطور نمونه اگر $\tau_{\text{act}} = 0.45$ باشد، در این معناست که هدف در زمان 2 ثانیه مانده به آخر، شروع به حرکت می کند. همان‌طور که از این شکل ملاحظه می شود، خطای نهایی SOOG-IGC کاهش قابل ملاحظه‌ای نسبت به $(t_f = \infty)$ داشته است.

5-نتیجه‌گیری

در این مقاله، قانون هدایت و کنترل یکپارچه خطدید بهینه حلقه‌بسته برای سیستم‌های مرتبه دوم بصورت دستور زاویه بالک و بی بعد استخراج گردید. در مسئله هدایت بهینه مذکور، زمان نهایی و موقعیت نهایی مشخص و معین در نظر گرفته شده است. مدل تابع تبدیل مرتبه دوم به عنوان مود پریود کوتاه منظور شده و عملگر بصورت ایده‌آل فرض شده است. همچنین روابط با استفاده از چهار فرم بی بعد شده و ضرایب قانون هدایت و کنترل یکپارچه و نتایج شبیه‌سازی عددی بصورت بی بعد ارائه شده است.



a) SOOG-IGC

b) SOOG-IGC ($t_f = \infty$)

Fig. 13 Normalized miss distance vs normalized final time for the two guidance laws with uncertainty on $\hat{\omega}$ ($h_0/v_0T = 10$, $k_1T/v_0 = 4$, $T_z/T = 1.2$, $bT^2v_0^2 = 0.05$, $\omega_G T = 0.3$, $\delta_{\text{sat}} = 30^\circ$)

شکل 13 خطای نهایی بی بعد بر حسب زمان نهایی بی بعد برای دو قانون هدایت با وجود عدم قطعیت در $\hat{\omega}$ ($h_0/v_0T = 10$, $k_1T/v_0 = 4$, $T_z/T = 1.2$) ($bT^2v_0^2 = 0.05$, $\omega_G T = 0.3$, $\delta_{\text{sat}} = 30^\circ$) در فاصله خطأ کمتر از دو پارامتر $\hat{\omega}$ و k_1 دیگر است. البته در شکل 14 مشاهده می شود که مقدار خطای افزایش $\hat{\omega}$ 10% مثبت در محدوده هایی برای قانون SOOG-IGC قابل قبول است.

حال اثر عدم قطعیت در مدل با اعمال تابع تبدیل مرتبه اول با ثابت زمانی T_{act} برای عملگر بررسی می شود. برای این منظور، خطای نهایی بی بعد «قانون یکپارچه خطدید بهینه مرتبه دوم» بر حسب زمان نهایی بی بعد به ازای سه مقدار ثابت زمانی بی بعد عملگر ($T_{\text{act}}/T = 0, 0.45, 0.65$) در "شکل 15" ترسیم شده است. با توجه به این شکل، همان‌طور که انتظار می‌رود، با افزایش τ_{act} خطای نهایی افزایش می‌یابد. در صورت مقدادر بزرگ برای ثابت زمانی عملگر، می‌توان ضریب وزنی فاصله از خطدید را کاهش داد تا خطای نهایی کاهش یابد. البته این کار، منجر به کاهش کیفیت تعقیب مسیر می‌شود. اگرچه روابط قانون یکپارچه بهینه بصورت تک بعدی استخراج شده است؛ ولی می‌توان از آن در حالت غیرخطی (حرکت دو بعدی در صفحه) استفاده کرد. در این حالت، شتاب a در تابع تبدیل (1) عمود بر پردار سرعت اعمال می‌شود. در معادلات شبیه‌سازی دو بعدی از پارامتر بی بعد کننده $A = v_{n_0}/T$ استفاده می‌شود که در آن v_{n_0} مولفه سرعت اولیه عمود بر خطدید است. همچنین زمان نهایی (یا زمان باقیمانده تا رسیدن به هدف) در هین پرواز، از تقسیم فاصله نسی بی بعد بر حسب فاصله افقی بی بعد تا هدف ($X_T/v_{n_0}/T$) به ازای خطای نهایی بی بعد بر حسب فاصله افقی بی بعد تا هدف ($\Delta X_T/v_{n_0}/T$) به ازای مقادیر مختلف خطای سمت برای قانون SOOG-IGC. با فرض عملگر ایده‌آل در "شکل 16" ترسیم شده است. در این حالت، پرنده از مبدأ با خطای سمت

شبیه‌سازی عددی و اعمال محدودیت زاویه بالک بررسی شده و با حالت ضرایب پایا مقایسه شده است. با توجه به نتایج شبیه‌سازی برای مدل جرم نقطه‌ای و در شرایط مفروض، می‌توان گفت که فاصله خطای نهایی به ازای قانون هدایت و کنترل یکپارچه خطدید بهینه مرتبه دوم، در اکثر محدوده‌ها نسبت به قانون هدایت و کنترل یکپارچه خطدید بهینه پایی مرتبه دوم بهبود می‌یابد. همچنین در ادامه، مطالعات پارامتری بی‌بعد روی ضریب وزنی فاصله از خطدید، بهره و فرکانس پریود کوتاه دینامیک وسیله پروازی برای هر دو قانون هدایت و کنترل یکپارچه صورت پذیرفته است. حساسیت دو قانون هدایت به مدل‌سازی سیستم هدایت و کنترل با اعمال عدم قطعیت در پارامترهای سیستم هدایت و کنترل یکپارچه دوره دوم بررسی اجمالی شده است. با توجه به عدم تقارن فاصله خطای نسبت به عدم قطعیت در پارامترهای دینامیک وسیله پروازی و این که درصدی منفی در این عدم قطعیت‌ها تأثیر قابل توجهی بر فاصله خطای ندارد، تخمین بزرگ‌تر برای پارامترهای بهره، «فرکانس پریود کوتاه» و «عکس قدرمطلق محل صفر» تابع تبدیل وسیله پروازی توصیه می‌شود تا در صورت وجود عدم قطعیت مثبت، خطای نهایی آن قابل قبول شود. شایان ذکر است تمرکز مقاله حاضر بر استخراج معادلات صریح برای مسئله بهینه خطدید بوده است. البته مطالعه مقدماتی حاضر در عملکرد شبیه‌سازی به ازای مدل جرم نقطه‌ای صورت پذیرفته است و برای بررسی جامع نیاز به شبیه‌سازی شش درجه آزادی با تخمین متغیرهای حالت در حضور نویز و اختشاش است.

در پایان، لازم به ذکر است که از روش خطی‌سازی و تابع توصیفی برای المان غیرخطی اشباع به عنوان معادلات حالت مسئله حاضر نیز می‌توان استفاده کرد. بعلاوه، حل تحلیلی مذکور و ماتریس انتقال حالت بدست آمده، راه را برای حل مسئله هدایت بهینه با قید سرعت نهایی (زاویه نهایی) برای کاربرد تعقیب مسیر برای با تقریب مدل پریود کوتاه هموار می‌کند.

6-پوست الف: محاسبه ماتریس انتقال حالت

برای محاسبه ماتریس انتقال حالت سیستم (11)، ابتدا معادله مشخصه آن استخراج می‌شود:

$$|sI - A_p| = z^4 + d_1 z^3 + d_2 z^2 + d_3 z + d_4 = 0, \quad (34)$$

که در آن $z = s^2$

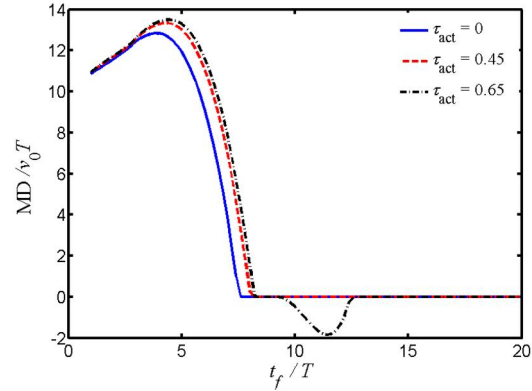
$$\begin{cases} d_1 = \hat{\omega}^2(2 - \hat{\omega}^2) \\ d_2 = \hat{\omega}^4(1 + \hat{b}\hat{k}_1^2\tau_z^4) \\ d_3 = -2\hat{b}\hat{k}_1^2\hat{\omega}^4\tau_z^2 \\ d_4 = \hat{b}\hat{k}_1^2\hat{\omega}^4 \end{cases} \quad (35)$$

معادله مشخصه (34) به ازای $0 < \hat{b}\hat{k}_1^2 \leq 5000$ و $0 < \tau_z < 2$ بصورت رابطه (44) قابل تفکیک است. شایان ذکر است مطابق رابطه (5) بنابراین شرط $\hat{\omega} < 1.2$ بصورت $0.6 < \hat{\omega} < 2.7$ نوشته می‌شود که با توجه به این که ضریب مرایی وسایل پروازی (یون کنترل) مقدار نسبتاً کوچکی است، لذا شرط $\hat{\omega} < 1.2$ عمل محدودیتی ایجاد نمی‌کند.

$$|sI - A_p| = (s^2 + 2\zeta_1\omega_1 s + \omega_1^2)(s^2 - 2\zeta_1\omega_1 s + \omega_1^2) \times (s^2 + 2\zeta_2\omega_2 s + \omega_2^2)(s^2 - 2\zeta_2\omega_2 s + \omega_2^2) \quad (36)$$

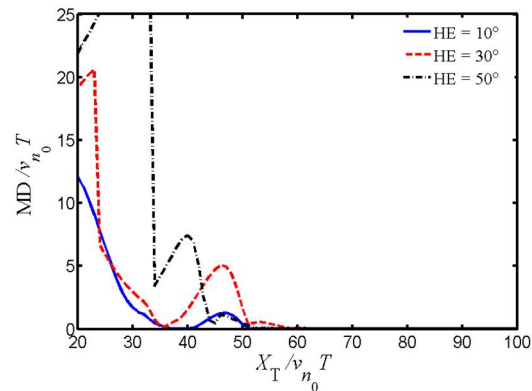
که در آن $(i = 1, 2)$

$$\omega_i = \sqrt[4]{\alpha_i^2 + \beta_i^2}, \quad \zeta_i = \sqrt{\frac{1}{2}(1 + \frac{\alpha_i}{\omega_i^2})} \quad (37)$$



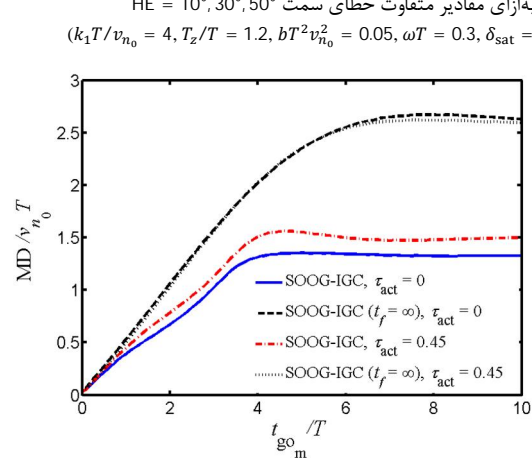
شکل 15 خطای نهایی بی‌بعد برحسب زمان نهایی بی‌بعد برای قانون SOOG-IGC بازای مقادیر مختلف τ_{act} ($k_1 T/v_0 = 4$, $T_z/T = 1.2$, $bT^2 v_0^2 = 0.01$, $\omega T = 0.3$, $\delta_{sat} = 30^\circ$)

شکل 15 خطای نهایی بی‌بعد برحسب زمان نهایی بی‌بعد برای قانون SOOG-IGC بازای مقادیر مختلف τ_{act} ($k_1 T/v_0 = 4$, $T_z/T = 1.2$, $bT^2 v_0^2 = 0.01$, $\omega T = 0.3$, $\delta_{sat} = 30^\circ$)



شکل 16 خطای نهایی بی‌بعد برحسب فاصله اولیه بی‌بعد هدف برای قانون SOOG-IGC بازای مقادیر مختلف خطای سمت ($k_1 T/v_{n_0} = 4$, $T_z/T = 1.2$, $bT^2 v_{n_0}^2 = 0.05$, $\omega T = 0.3$, $\delta_{sat} = 30^\circ$)

شکل 16 خطای نهایی بی‌بعد برحسب فاصله اولیه بی‌بعد هدف برای قانون SOOG-IGC بازای مقادیر مختلف خطای سمت ($k_1 T/v_{n_0} = 4$, $T_z/T = 1.2$, $bT^2 v_{n_0}^2 = 0.05$, $\omega T = 0.3$, $\delta_{sat} = 30^\circ$)



شکل 17 خطای نهایی بی‌بعد برحسب زمان باقیمانده بی‌بعد مانور هدف ($k_1 T/v_0 = 4$, $T_z/T = 1.2$, $bT^2 v_0^2 = 0.05$, $\omega T = 0.3$, $\delta_{sat} = 30^\circ$, $HE = 10^\circ$)

شکل 17 خطای نهایی بی‌بعد برحسب زمان باقیمانده بی‌بعد مانور هدف ($k_1 T/v_0 = 4$, $T_z/T = 1.2$, $bT^2 v_0^2 = 0.05$, $\omega T = 0.3$, $\delta_{sat} = 30^\circ$, $HE = 10^\circ$)

به علاوه، بهره‌های قانون هدایت و کنترل یکپارچه خطدید بهینه در حالت پایا به طور صریح استخراج شده است. عملکرد قانون استخراج شده، با استفاده از

$$= e^{-\zeta_2 \omega_2 t} \left(C_5 \cos(\omega_{d_2} t) + \frac{(C_6 - C_5 \zeta_2 \omega_2) \sin(\omega_{d_2} t)}{\omega_{d_2}} \right) \quad (48)$$

$$\Phi_4(t) = \mathcal{L}^{-1} \left\{ \frac{C_7 s + C_8}{s^2 - 2\zeta_2 \omega_2 s + \omega_2^2} \right\} \\ = e^{\zeta_2 \omega_2 t} \left(C_7 \cos(\omega_{d_2} t) + \frac{(C_8 + C_7 \zeta_2 \omega_2) \sin(\omega_{d_2} t)}{\omega_{d_2}} \right) \quad (49)$$

همچنین:

$$\omega_{d_i} = \omega_i \sqrt{1 - \zeta_i^2}, \quad i = 1, 2 \quad (50)$$

7- پیوست ب: محاسبه ضرایب قانون هدایت پایا

در این بخش، ضرایب قانون هدایت و کنترل یکپارچه مرتبه دوم پایا (32) بر حسب عناصر ماتریس S در معادله جبری ریکاتی (29) استخراج می‌شود. در ابتدا با جایگذاری S از رابطه (30) و ماتریس‌های A_s , B , C و Q از رابطه (12) در رابطه (29). دستگاه معادلات 10 معادله و 10 مجھول به دست آمده که با انجام عملیات ریاضی، بصورت رابطه (51) ساده می‌شود:

$$\begin{cases} d_3 S_5 + S_7 = \sqrt{b} \\ (d_3 S_5 + S_7)(d_3 S_2 + S_9) = S_1 \\ (d_3 S_5 + S_7)(d_3 S_8 + S_{10} - d_1) = d_2 S_5 \\ (d_3 S_5 + S_7)(d_3 S_9 + S_4 - d_1) = S_6 \\ (d_3 S_2 + S_9)^2 = 2S_5 \\ (d_3 S_2 + S_9)(d_3 S_8 + S_{10} - d_1) = d_2 S_2 + S_6 \\ (d_3 S_2 + S_9)(d_3 S_9 + S_4 - d_1) = S_7 + S_8 \\ (d_3 S_8 + S_{10} - d_1)^2 = d_1^2 + 2d_2 S_8 \\ (d_3 S_8 + S_{10} - d_1)(d_3 S_9 + S_4 - d_1) = S_3 + d_1^2 + d_2 S_9 \\ (d_3 S_9 + S_4 - d_1)^2 = d_1^2 + 2S_{10} \end{cases} \quad (51)$$

که در آن،

$$\begin{cases} d_1 = \hat{\omega}^2 \\ d_2 = \hat{k}_1 \hat{\omega}^2 \\ d_3 = -\hat{k}_1 \hat{\omega}^2 \tau_z^2 \end{cases} \quad (52)$$

در ادامه با استفاده از روابط اول، پنجم، هشتم و دهم دستگاه معادلات مذکور می‌توان نوشت:

$$\begin{cases} d_3 S_5 + S_7 = \hat{b} = \hat{C}_h(\infty) \\ d_3 S_2 + S_9 = \sqrt{2S_5} = \hat{C}_v(\infty) \\ d_3 S_8 + S_{10} = \hat{\omega} \sqrt{\hat{\omega}^2 + 2S_8} - \hat{\omega}^2 = \hat{C}_{x_1}(\infty) \\ d_3 S_9 + S_4 = \sqrt{\hat{\omega}^4 + 2S_{10}} - \hat{\omega}^2 = \hat{C}_{x_2}(\infty) \end{cases} \quad (53)$$

بنابراین، با توجه به روابط فوق، برای استخراج بهره‌های پایا، تنها نیاز به محاسبه سه مجھول d_5 , S_8 و S_{10} است. این سه مجھول با توجه به دیگر روابط (51) و با انجام عملیات ریاضی متعدد بصورت (54) محاسبه می‌شود:

$$\begin{cases} S_5 = -\frac{a_1}{4a_0} + D_1 + \frac{1}{2} \sqrt{-4D_1^2 - 2p_0 - \frac{p_1}{D_1}} \\ S_8 = \frac{\hat{\omega}^2}{2\hat{b}\hat{k}_1} (\hat{k}_1^2 S_5^2 - \hat{b}) \\ S_{10} = \hat{\omega}^2 \left(\hat{k}_1 \tau_z^2 S_8 + \frac{\hat{k}_1}{\sqrt{\hat{b}}} S_5 - 1 \right) \end{cases} \quad (54)$$

که در آن،

$$\begin{cases} p_0 = \frac{8a_0 a_2 - 3a_1^2}{8a_0^2} \\ p_1 = \frac{a_1^3 - 4a_0 a_1 a_2 + 8a_0^2 a_3}{8a_0^3} \end{cases} \quad (55)$$

در رابطه فوق، ω_1 و ω_2 همیشه مثبت و حقیقی بوده و با توجه به این که به راحتی می‌توان نشان داد که $|\alpha_1/\omega_i^2| < 1$ ، مقدار ζ_1 و ζ_2 نیز حقیقی و بین صفر و یک خواهد بود. همچنین:

$$\alpha_i = -\frac{d_1}{4} + (-1)^i Q_1, \quad \beta_i = \frac{1}{2} \sqrt{4Q_1^2 + 2q_1 + (-1)^i \frac{q_2}{Q_1}} \quad (38)$$

که در آن،

$$\begin{cases} q_1 = \frac{8d_2 - 3d_1^2}{8} \\ q_2 = \frac{d_1^3 - 4d_1 d_2 + 8d_3}{8} \end{cases} \quad (39)$$

$$\begin{cases} Q_1 = \frac{1}{2} \sqrt{-\frac{2}{3}q_1 + \frac{1}{3}(Q_2 + \frac{A_0}{Q_2})} \\ Q_2 = \sqrt[3]{\Delta_1 + \sqrt{\Delta_1^2 - 4\Delta_0^3}} \end{cases} \quad (40)$$

همچنین

$$\begin{cases} A_0 = d_2^2 - 3d_1 a_3 + 12d_4 \\ A_1 = 2d_2^3 - 9d_1 d_2 d_3 + 27d_2^2 d_4 + 27d_3^2 - 72d_2 d_4 \end{cases} \quad (41)$$

ماتریس انتقال حالت در فضای لپلاس بصورت (42) حاصل می‌شود:

$$\Phi(s) = \frac{M_1 s^7 + M_2 s^6 + M_3 s^5 + M_4 s^4 + M_5 s^3 + M_6 s^2 + M_7 s + M_8}{s^8 + d_1 s^6 + d_2 s^4 + d_3 s^2 + d_4} \quad (42)$$

که در آن،

$$\begin{cases} M_1 = I_{8 \times 8} \\ M_2 = A_p \\ M_3 = A_p M_2 + d_1 M_1, \\ M_4 = A_p M_3 \end{cases} \quad \begin{cases} M_5 = A_p M_4 + d_2 M_1 \\ M_6 = A_p M_5 \\ M_7 = A_p M_6 + d_3 M_1 \\ M_8 = A_p M_7 \end{cases} \quad (43)$$

ماتریس انتقال حالت (42) را با استفاده از رابطه (36) می‌توان به کسرهای مجرزا تفکیک نمود:

$$\begin{aligned} & \frac{M_1 s^7 + M_2 s^6 + M_3 s^5 + M_4 s^4 + M_5 s^3 + M_6 s^2 + M_7 s + M_8}{s^8 + a_1 s^6 + a_2 s^4 + a_3 s^2 + a_4} \\ &= \frac{C_1 s + C_2}{s^2 + 2\zeta_1 \omega_1 s + \omega_1^2} + \frac{C_3 s + C_4}{s^2 - 2\zeta_1 \omega_1 s + \omega_1^2} \\ &+ \frac{C_5 s + C_6}{s^2 + 2\zeta_2 \omega_2 s + \omega_2^2} + \frac{C_7 s + C_8}{s^2 - 2\zeta_2 \omega_2 s + \omega_2^2} \end{aligned} \quad (44)$$

روابط کلی تفکیک رابطه (44) به کسرهای مجرزا بر حسب ضرایب C_1 تا C_8 مشابه مرجع [14] است که در پیوست الف مرجع مذکور آمده و از ذکر مجدد آن خودداری می‌شود. در نهایت ماتریس انتقال حالت بصورت رابطه (45) حاصل می‌شود:

$$\Phi(t) = \Phi_1(t) + \Phi_2(t) + \Phi_3(t) + \Phi_4(t) \quad (45)$$

که در آن،

$$\Phi_1(t) = \mathcal{L}^{-1} \left\{ \frac{C_1 s + C_2}{s^2 + 2\zeta_1 \omega_1 s + \omega_1^2} \right\} \\ = e^{-\zeta_1 \omega_1 t} \left(C_1 \cos(\omega_{d_1} t) + \frac{(C_2 - C_1 \zeta_1 \omega_1) \sin(\omega_{d_1} t)}{\omega_{d_1}} \right) \quad (46)$$

$$\Phi_2(t) = \mathcal{L}^{-1} \left\{ \frac{C_3 s + C_4}{s^2 - 2\zeta_1 \omega_1 s + \omega_1^2} \right\} \\ = e^{\zeta_1 \omega_1 t} \left(C_3 \cos(\omega_{d_1} t) + \frac{(C_4 + C_3 \zeta_1 \omega_1) \sin(\omega_{d_1} t)}{\omega_{d_1}} \right) \quad (47)$$

$$\Phi_3(t) = \mathcal{L}^{-1} \left\{ \frac{C_5 s + C_6}{s^2 + 2\zeta_2 \omega_2 s + \omega_2^2} \right\}$$

«قانون هدایت و کنترل یکپارچه خطدید بهینه مرتبه دوم پایا» مطابق رابطه (32) در "شکل 18" بر حسب \hat{k}_1 و بهارای ضرایب مختلف وزنی بی بعد ترسیم شده است. با توجه به "شکل 4"، با افزایش \hat{k}_1 ، ضریب \hat{C}_v کاهش و دو ضریب C_{x_1} و C_{x_2} افزایش می‌یابد.

8-مراجع

- [1] R. Yanushevsky, *Modern missile guidance*, pp. 145-167, Boca Raton: CRC Press, Taylor & Francis Group, 2008.
- [2] R. Yanushevsky, *Guidance of Unmanned Aerial Vehicles*, pp. 243-273, Boca Raton: CRC Press, Taylor & Francis Group, 2011.
- [3] N. F. Palumbo, B. E. Reardon, R. A. Blauwkap, Integrated guidance and control for homing missiles, *Johns Hopkins Applied Physics Laboratory Technical Digest*, Vol. 25, No. 2, 2004.
- [4] N. F. Palumbo, B. E. Reardon, R. A. Blauwkap, Guest editor's introduction: integrated guidance and control for homing missiles, *Johns Hopkins Applied Physics Laboratory Technical Digest*, Vol. 29, No. 1, 2010.
- [5] C. T. Chomel, *Design of a robust integrated guidance and control algorithm for the landing of an autonomous reusable launch vehicle*, MSc Thesis, Department of Aeronautics and Astronautics Massachusetts Institute of Technology, 1996.
- [6] D. Chwa, J. Y. Choi, Anavatti, G. Sreenatha, Observer-based adaptive guidance law considering target uncertainties and control loop dynamics, *IEEE Transactions on Control Systems Technology*, Vol. 14, No. 1, pp. 112-123, 2006.
- [7] R. J. Sattigeri, A. J. Calise, Integration of adaptive estimation and adaptive control design for uncertain nonlinear systems, *American Institute of Aeronautics and Astronautics (AIAA) Guidance, Navigation and Control Conference and Exhibit*, Hilton Head, South Carolina, August 20 - 23, 2007.
- [8] T. Shima, M. Idan, O. M. Golan, Sliding-mode control for integrated missile autopilot guidance, *Journal of Guidance, Control, and Dynamics*, Vol. 29, No. 2, pp. 250-260, 2006.
- [9] D. C. Foreman, C. H. Tournes, Y. B. Shtessel, Integrated missile flight control using quaternions and third-order sliding mode control, *American Control Conference*, Marriott Waterfront, Baltimore, MD, USA, June 30-July 02, 2010.
- [10] J. E. Kain, D. J. Yost, Command to line-of-sight guidance: A stochastic optimal control problem, *American Institute of Aeronautics and Astronautics (AIAA) Journal of Spacecraft*, Vol. 14, No. 7, pp. 438-444, 1977.
- [11] M. Sadrayi, Optimal Integrated Guidance and Control Design for Line-of-Sight Based Formation Flight, *American Institute of Aeronautics and Astronautics (AIAA) Guidance, Navigation, and Control Conference*, Portland, Oregon, August 08 – 11, 2011.
- [12] S. H. Pourakdoust, H. Nobahari, Line-of-Sight guidance law optimization for ground-to-air missiles, *the First Conference of Aerospace industries Organization*, Tehran, Iran, 2000, (in Persian فارسی).
- [13] A. Ratnoo, P. B. Sujit, M. Kothari, Adaptive Optimal path following for high wind flights, *Proceedings of 18th International Federation of Automatic Control (IFAC) World Congress*, Milan, Italy, pp. 12,985-12,990, Aug 28-Sept 2, 2011.
- [14] S. H. Sajjadi, S. H. Jalali Naini, Second-order optimal line-of-sight guidance for stationary targets, *Modares Mechanical Engineering*, Vol. 15, No. 11, pp. 387-395, 2015 (in Persian فارسی).
- [15] S. H. Jalali Naini, S. H. Sajjadi, Closed-loop optimal line-of-sight guidance for non-minimum phase second-order control systems, *the 15th International Conference of Aerospace Society*, Tehran, Iran, 2016, (in Persian فارسی).
- [16] P. Zarchan, *Tactical and strategic missile guidance*, pp. 473-498, Virginia: American Institute of Aeronautics and Astronautics (AIAA), *Progress in Astronautics and Aeronautics*, Vol. 239, 6th Ed., 2012.
- [17] K. Ogata, *Modern Control Engineering*, pp. 711-718, New Jersey, Prentice-Hall, 3rd edition, 1997.

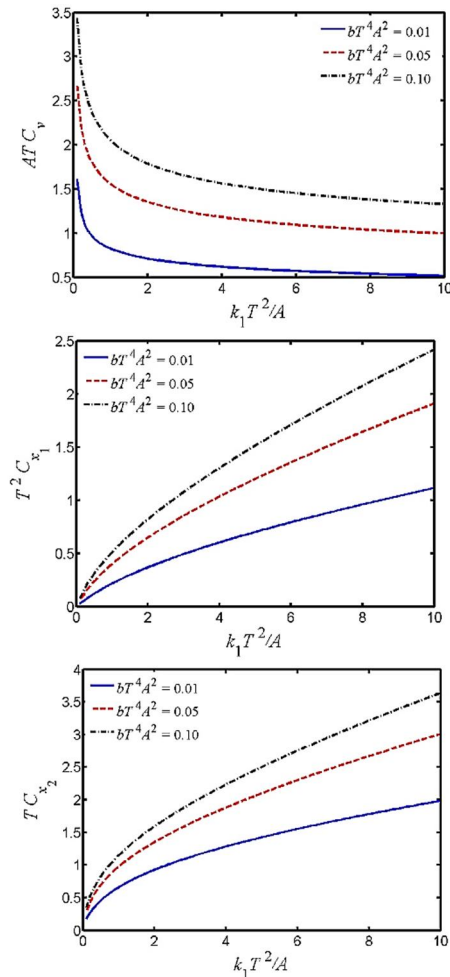


Fig. 18 Steady-state normalized guidance gains (31) vs. \hat{k}_1 for different values of $\hat{b} = 0.01, 0.05, 0.1$ ($\omega T = 0.3, T_z/T = 1.2$)

شکل 18 ضرایب بی بعد قانون هدایت بهینه پایا (31) بر حسب \hat{k}_1 به ازای مقادیر $(\omega T = 0.3, T_z/T = 1.2)$ $\hat{b} = 0.01, 0.05, 0.1$

$$\left\{ \begin{array}{l} D_1 = \frac{1}{2} \sqrt{-\frac{2}{3} p_0 + \frac{1}{3a_0} \left(D_0 + \frac{\Delta_0}{D_0} \right)} \\ D_0 = \sqrt[3]{\frac{\Delta_1 + \sqrt{\Delta_1^2 - 4\Delta_0^3}}{2}} \end{array} \right. \quad (56)$$

$$\left\{ \begin{array}{l} \Delta_0 = a_2^2 - 3a_1a_3 + 12a_0a_4 \\ \Delta_1 = 2a_2^3 - 9a_1a_2a_3 + 27a_1^2a_4 + 27a_0a_3^2 - 72a_0a_2a_4 \end{array} \right. \quad (57)$$

$$\left\{ \begin{array}{l} a_0 = \hat{k}_1^4 \hat{\omega}^4 \\ a_1 = -4\hat{b}\hat{k}_1^4 \hat{\omega}^4 \tau_z^2 \\ a_2 = 2\hat{b}\hat{k}_1^2 \hat{\omega}^2 \left(2\hat{b}\hat{k}_1^2 \hat{\omega}^2 \tau_z^4 - 6\sqrt{\hat{b}}\hat{k}_1 - \hat{\omega}^2 \right) \\ a_3 = 4\hat{b}^2 \hat{k}_1^2 \hat{\omega}^2 \left(\hat{\omega}^2 \tau_z^2 + 2\sqrt{\hat{b}}\hat{k}_1 \tau_z^2 - 2\hat{\omega}^2 + 4 \right) \\ a_4 = \hat{b}^2 \left(\hat{\omega}^2 - 2\sqrt{\hat{b}}\hat{k}_1 \right) \end{array} \right. \quad (58)$$

همان‌طور که در رابطه (32) و (53) مشاهده می‌شود، ضریب $\hat{C}_h(\infty)$ تنها تابعی از ضریب \hat{b} و برابر با جذر آن است. رفتار ضرایب بهره بی بعد دیگر در